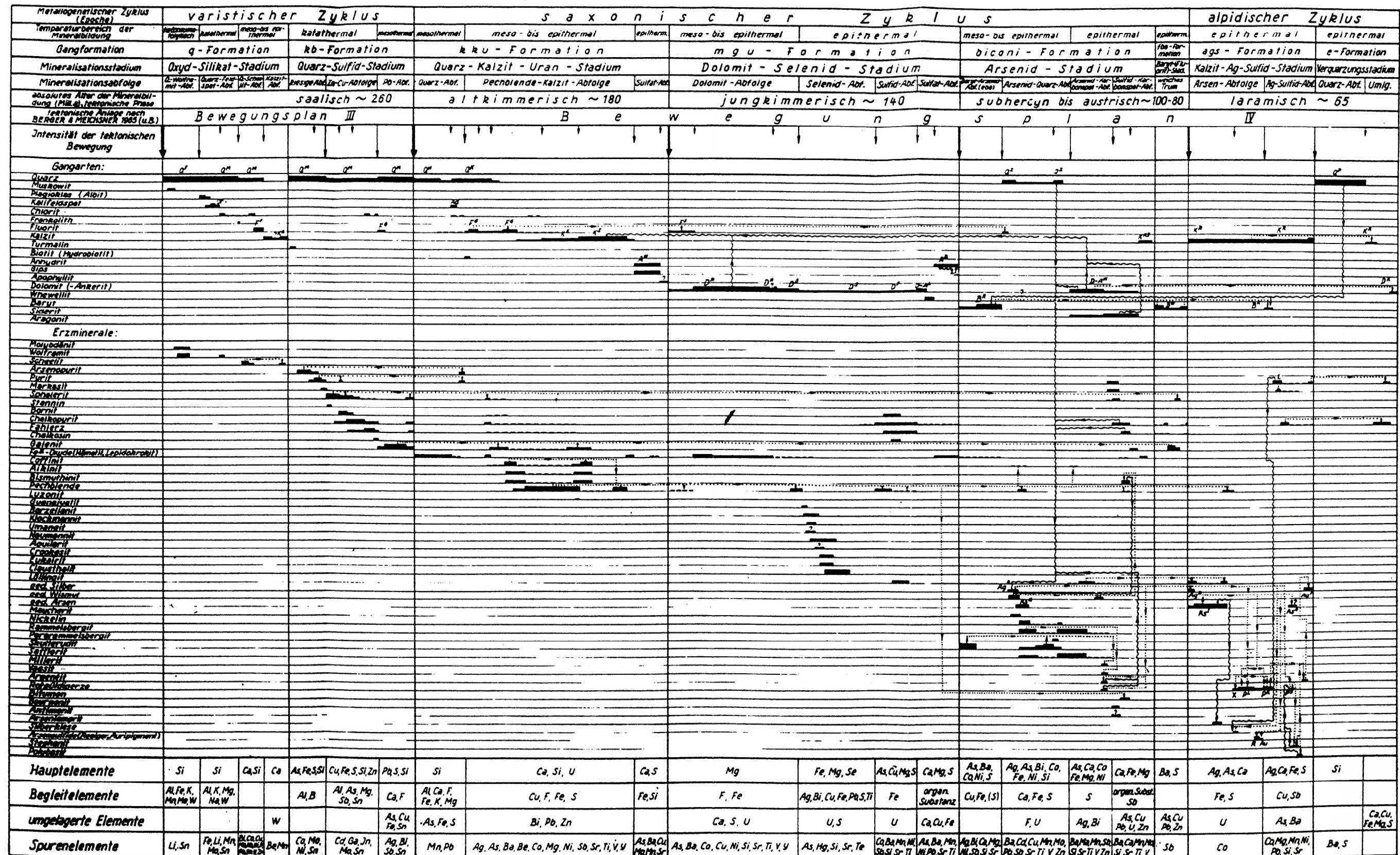


**Abb. 90:** Übersicht zum zeitlichen Ablauf der Mineralabscheidungen und der Bildung der Paragenesen



**Erläuterung:**

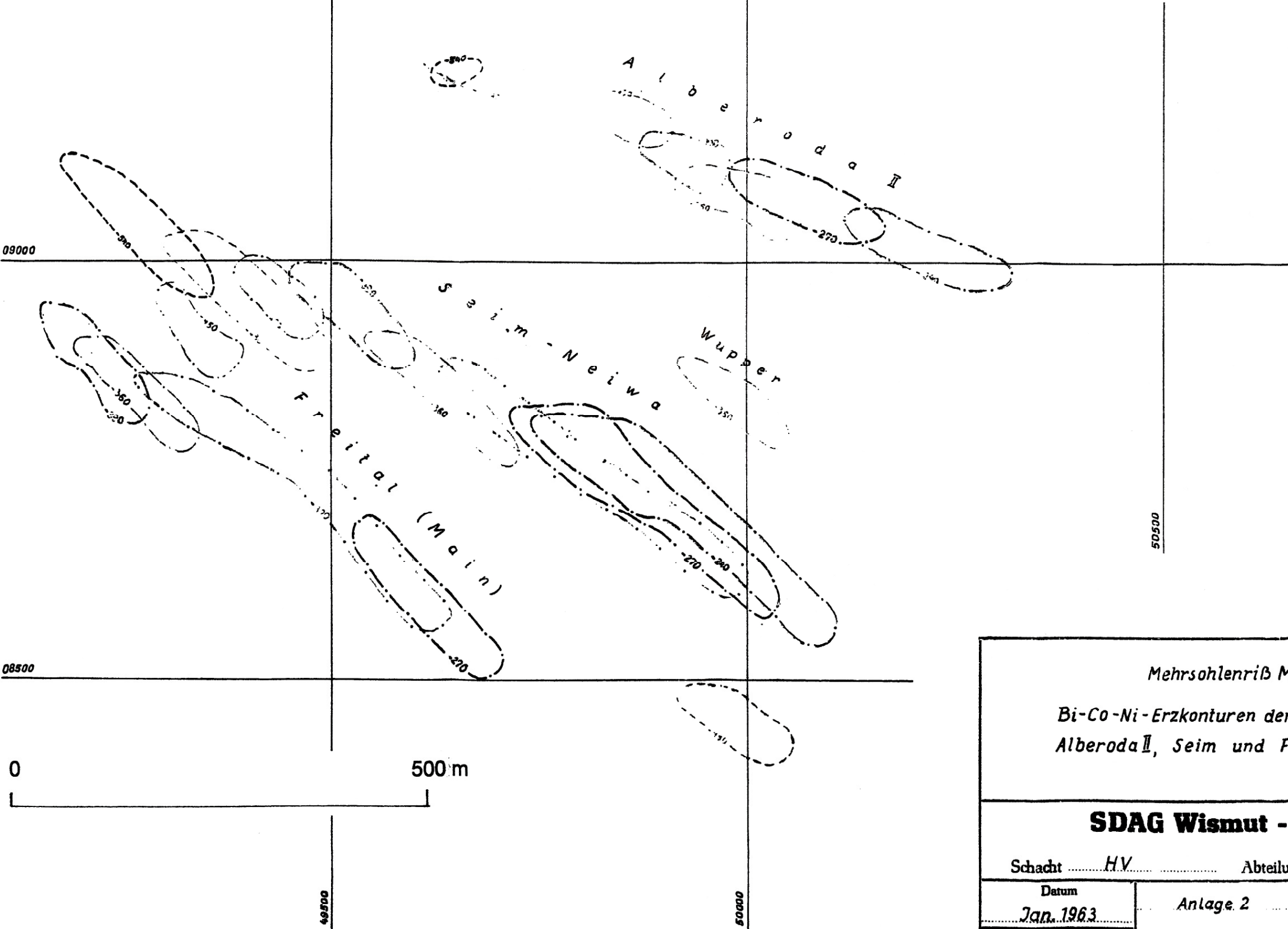
Prozesse der Pseudomorphisierung	Q <sup>F</sup> Fettquarz	Or Orthoklas	K <sup>K</sup> Kalzit, dero, körnig	D <sup>D</sup> Dolomit, pseudomorph nach Kalzit	verteilten Seleniden	B <sup>R</sup> Baryt, bräunlich-rot	Ag <sup>D</sup> ged. Silber, dendritisch	X Xanthokon
Prozesse der Umlagerung	Q <sup>M</sup> Milchquarz	Ad Adular	K <sup>K</sup> Kalzit, skalenoedrisch	D <sup>D</sup> Dolomit, hornsteinartig	D-A <sup>L</sup> Dolomit, $\pm$ ankeritisch, lagig, hell	B <sup>W</sup> Baryt, weiß bis schwach rosa	Ag ged. Silber, faden-haarförmig	p <sup>P</sup> Proustilit, langprismatisch
Alterationsstufe nicht vollständig gesichert	Q <sup>H</sup> Hornstein	F <sup>F</sup> Fluorit, fast farblos	K <sup>Ks</sup> Kalzit, kleinkalenoedrisch	D <sup>D</sup> Dolomit, feinkörnig, rosa, wenig gefärbt	D-A <sup>A</sup> Dolomit, ankeritisch, körnig-spätig, weiß	B <sup>K</sup> "Kristallbaryt" (Arsenbaryt), meist gelblich	As <sup>K</sup> ged. Arsen, körnig, dero	p <sup>P</sup> Proustilit, kurzprismatisch
	Q <sup>K</sup> Kammquarz <th>F<sup>F</sup> Fluorit, hellgelblich</th> <th>K<sup>R</sup> Kalzit, rhomboedrisch</th> <th>D<sup>D</sup> Dolomit, feinkörnig, mit dispers</th> <th>D<sup>K</sup> "Kristalldolomit", meist gelb</th> <td></td> <th>As<sup>S</sup> "Scherbenkobalt"</th> <th>R Realgar</th>	F <sup>F</sup> Fluorit, hellgelblich	K <sup>R</sup> Kalzit, rhomboedrisch	D <sup>D</sup> Dolomit, feinkörnig, mit dispers	D <sup>K</sup> "Kristalldolomit", meist gelb		As <sup>S</sup> "Scherbenkobalt"	R Realgar
	Q <sup>Z</sup> Zuckerwürförmiger Quarz <th>F<sup>F</sup> Fluorit, hellgelblich</th> <td></td> <td></td> <td></td> <td></td> <th>As<sup>S</sup> ged. Arsen, nädlig</th> <th>Au Auripigment</th>	F <sup>F</sup> Fluorit, hellgelblich					As <sup>S</sup> ged. Arsen, nädlig	Au Auripigment
	Q <sup>B</sup> Kastenuarz <th>F<sup>S</sup> "Stinkaspar"</th> <td></td> <td></td> <td></td> <td></td> <td></td> <td></td>	F <sup>S</sup> "Stinkaspar"						





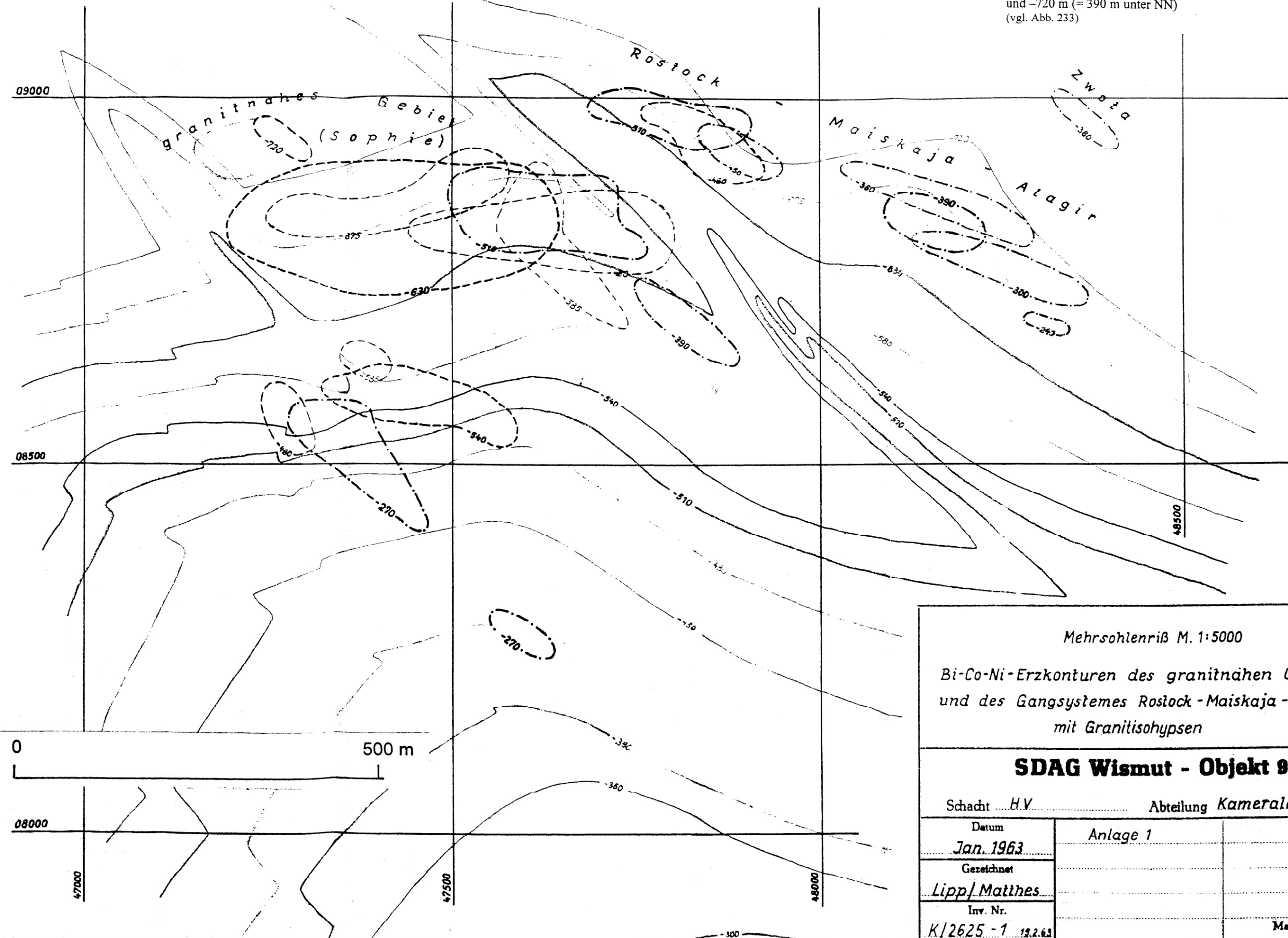


Bi-Co-Ni-Erzkonturen auf den Sohlen zwischen  
-240 m (= 90 m über NN) und -540 m (= 210 m unter NN)  
(vgl. Abb. 232)



Mehrsohlenriß M. 1:5000		
Bi-Co-Ni-Erzkonturen der Gangsysteme Alberoda II, Seim und Freital (Main)		
SDAG Wismut - Objekt 9		
Schacht <i>H.V.</i>		Abteilung <i>Kameral.</i>
Datum	Anlage 2	
<i>Jan. 1963</i>		
Gezeichnet		
<i>Claus J. Mailhes</i>		
Inv. Nr.		
<i>K/2626-2 19.2.63</i>	Markseider	

Höhenlinien der Granitoberfläche und Bi-Co-Ni-Erzkonturen;  
Erzkonturen auf den Sohlenniveaus zwischen -240 (= 90 m ü. NN)  
und -720 m (= 390 m unter NN)  
(vgl. Abb. 233)



Mehrsohlenriß M. 1:5000

Bi-Co-Ni-Erzkonturen des granitnahen Gebietes  
und des Gangsystemes Rostock - Maiskaja - Alagir  
mit Granitisohypsen

### SDAG Wismut - Objekt 9

Schacht *H.V.* Abteilung *Kamerale*

Datum

*Jan. 1963*

Gezeichnet

*Lipp/Matthes*

Inv. Nr.

*K/2625 - 1 19.2.63*

Anlage 1

Markschelder